

**УПРАВЛЕНИЕ ЭЛЕКТРОПРИВОДОМ НАВЕДЕНИЯ ОСНОВНОГО ВООРУЖЕНИЯ  
ЛЕГКОБРОНИРОВАННОЙ БОЕВОЙ МАШИНЫ**

Современные объекты бронетанковой техники оснащаются стабилизаторами вооружения – специальными системами автоматического регулирования, позволяющими эффективно вести прицельный огонь с ходу. Ведение прицельного огня с ходу без системы стабилизации невозможно из-за значительных колебаний корпуса бронеобъекта. Устанавливаются стабилизаторы как на танки, так и на некоторые легкобронированные машины (ЛБМ) – БМП-2, БМП-3, БМД-2, БМД-3 и др. [1].

В стабилизаторах вооружения чувствительными элементами являются гироскопические датчики угла и угловой скорости, служащие для измерения угловых отклонений и угловых скоростей пушки (в вертикальной плоскости) и башни с пушкой (в горизонтальной плоскости). Электронный блок управления формирует сигнал, пропорциональный этим отклонениям, который подается на исполнительные приводы (гидроцилиндры, гидромоторы, электродвигатели постоянного тока) в качестве управляющего воздействия. Рассмотрим вариант, когда для наведения и стабилизации боевого модуля ЛБМ в вертикальной и горизонтальной плоскостях в качестве исполнительных приводов используется электродвигатель ЭДМ-500 с возбуждением от постоянных магнитов и номинальной мощностью 500 Вт, частотой вращения вала 2500 об/мин (261,8 рад/с), моментом на валу 1,93 Н·м. При этом одним из технических требований к стабилизатору является возможность разгона приводного двигателя до номинальной частоты и полного торможения за время не более 0,1 с.

Развитие датчиковой аппаратуры и микропроцессорной техники убеждает авторов в принципиальной возможности отказа от построения стабилизаторов вооружения на дорогостоящих гироскопических приборах. В данной работе предлагается использовать принципы бесплатформенных инерциальных систем (БИС) для управления электроприводами системы наведения и стабилизации вооружения ЛБМ. БИС широко применяются для управления космическими летательными аппаратами и навигации воздушных, морских и наземных транспортных средств [2, 3]. В таких системах задача определения ориентации объекта сводится к нахождению некоторых параметров, однозначно определяющих угловую ориентацию связанной с объектом ортогональной системы координат по отношению к некоторой принятой за инерциальную системе координат. В качестве параметров ориентации используют углы Эйлера – Крылова, параметры Родрига – Гамильтона (кватернионы), параметры Кейли – Клейна и ряд других. Исходной информацией для вычисления этих параметров являются составляющие вектора угловой скорости вращения связанной с объектом системы координат, измеряемые с помощью датчиков угловой скорости (ДУС). Параметры ориентации определяются путем численного интегрирования в бортовом вычислителе кинематических уравнений. Авторы для определения ориентации боевого модуля ЛБМ выбрали параметры Родрига – Гамильтона, основываясь на том, что интегрирование кинематических уравнений в этом случае требует меньшей производительности бортового вычислителя [2, 4].

В работе [5] приведена математическая модель совместного движения башенки и боевого модуля ЛБМ. В этой модели были приняты некоторые допущения и создана упрощенная модель стабилизатора вооружения в вертикальной плоскости. Рассмотрим режим наведения. Задаваемая ориентация модуля определяется величинами углов башенки  $\varphi_6(0)$  и пушки  $\varphi_0(0)$ . Этой ориентации соответствует кватернион  $\bar{M} = (\mu_0, \mu_1, \mu_2, \mu_3)$ , где

$$\begin{aligned} \mu_0 &= \cos \frac{\varphi_6(0)}{2} \cos \frac{\varphi_0(0)}{2}; & \mu_1 &= \sin \frac{\varphi_6(0)}{2} \sin \frac{\varphi_0(0)}{2}; \\ \mu_2 &= \sin \frac{\varphi_6(0)}{2} \cos \frac{\varphi_0(0)}{2}; & \mu_3 &= \cos \frac{\varphi_6(0)}{2} \sin \frac{\varphi_0(0)}{2}. \end{aligned} \quad (1)$$

Текущая ориентация модуля определяется численным интегрированием кинематических уравнений методом Эйлера с реверсом и нормировкой. Обозначим кватернион текущей ориентации модуля  $\bar{\lambda} = (\lambda_0, \lambda_1, \lambda_2, \lambda_3)$ , причем  $\lambda_0(0) = 1$ ;  $\lambda_1(0) = 0$ ;  $\lambda_2(0) = 0$ ;  $\lambda_3(0) = 0$ . Тогда на нечетном такте работы бортового вычислителя алгоритм определения параметров Родрига – Гамильтона имеет вид:

$$\begin{aligned} \lambda_1(n) &= \lambda_1(n-1) + \frac{T}{2} \{ \lambda_0(n-1)\omega_{\beta}(n) + \lambda_2(n-1)\omega_{\gamma}(n) - \lambda_3(n-1)\omega_{\delta}(n) \}; \\ \lambda_2(n) &= \lambda_2(n-1) + \frac{T}{2} \{ \lambda_0(n-1)\omega_{\gamma}(n) + \lambda_3(n-1)\omega_{\beta}(n) - \lambda_1(n-1)\omega_{\delta}(n) \}; \\ \lambda_3(n) &= \lambda_3(n-1) + \frac{T}{2} \{ \lambda_0(n-1)\omega_{\delta}(n) + \lambda_1(n-1)\omega_{\gamma}(n) - \lambda_2(n-1)\omega_{\beta}(n) \}; \\ \lambda_0(n) &= \sqrt{1 - \lambda_1^2(n) - \lambda_2^2(n) - \lambda_3^2(n)}, \end{aligned} \quad (2)$$

а на четном такте составляющие кватерниона вычисляются в обратной последовательности:

$$\begin{aligned}
\lambda_3(n) &= \lambda_3(n-1) + \frac{T}{2} \{ \lambda_0(n-1)\omega_{fz}(n) + \lambda_1(n-1)\omega_{fy}(n) - \lambda_2(n-1)\omega_{fx}(n) \}; \\
\lambda_2(n) &= \lambda_2(n-1) + \frac{T}{2} \{ \lambda_0(n-1)\omega_{fy}(n) + \lambda_3(n)\omega_{fx}(n) - \lambda_1(n-1)\omega_{fz}(n) \}; \\
\lambda_1(n) &= \lambda_1(n-1) + \frac{T}{2} \{ \lambda_0(n-1)\omega_{fx}(n) + \lambda_2(n)\omega_{fz}(n) - \lambda_3(n-1)\omega_{fy}(n) \}; \\
\lambda_0(n) &= \sqrt{1 - \lambda_1^2(n) - \lambda_2^2(n) - \lambda_3^2(n)}.
\end{aligned}
\tag{3}$$

где  $n$  – номер такта работы бортового вычислителя;  $T$  – величина такта (принималась равной 0,005 с);  $\omega_{fx}$ ,  $\omega_{fy}$ ,  $\omega_{fz}$  – сигналы с ДУС после преобразования в цифровую форму и фильтрации.

Кватернион рассогласований  $\delta\vec{\lambda} = (\delta\lambda_0, \delta\lambda_1, \delta\lambda_2, \delta\lambda_3)$  определяется следующим образом:

$$\begin{aligned}
\delta\lambda_0(n) &= \mu_0(n)\lambda_0(n) + \mu_1(n)\lambda_1(n) + \mu_2(n)\lambda_2(n) + \mu_3(n)\lambda_3(n); \\
\delta\lambda_1(n) &= \mu_0(n)\lambda_1(n) - \mu_1(n)\lambda_0(n) - \mu_2(n)\lambda_3(n) + \mu_3(n)\lambda_2(n); \\
\delta\lambda_2(n) &= \mu_0(n)\lambda_2(n) - \mu_2(n)\lambda_0(n) + \mu_1(n)\lambda_3(n) - \mu_3(n)\lambda_1(n); \\
\delta\lambda_3(n) &= \mu_0(n)\lambda_3(n) - \mu_3(n)\lambda_0(n) - \mu_1(n)\lambda_2(n) + \mu_2(n)\lambda_1(n).
\end{aligned}
\tag{4}$$

Управляющий сигнал формируется по такому закону:

$$U_{\text{н}}(n) = -k_{\text{г}} [2\delta\lambda_0(n)\delta\lambda_3(n)] + k_{\text{г}}\omega_{fz}(n); \quad |U_{\text{н}}| \leq 27 \text{ В.} \tag{5}$$

Уравнения динамики электродвигателя записываются в виде [6]:

$$\begin{aligned}
I_{\text{я}} \frac{d\omega_{\text{я}}}{dt} &= M_{\text{д}} - M_{\text{н}}; \\
L_{\text{я}} \frac{di_{\text{я}}}{dt} &= U_{\text{н}} - r_{\text{я}}i_{\text{я}} - K_{\text{Э}}\omega_{\text{я}},
\end{aligned}
\tag{6}$$

где  $I_{\text{я}}$  – момент инерции якоря электродвигателя, равный  $2,7 \cdot 10^{-4}$  кг·м<sup>2</sup>;  $\omega_{\text{я}}$  – угловая скорость якоря, рад/с;

$M_{\text{д}}$  – крутящий момент двигателя, приведенный к якорю, Н·м;  $M_{\text{н}}$  – момент нагрузки на валу якоря;  $L_{\text{я}}$  – индуктивность якоря, равная 0,33 мГн;  $i_{\text{я}}$  – ток якоря, А;  $r_{\text{я}}$  – сопротивление цепи якоря, составляющее 0,076 Ом;  $K_{\text{Э}}$  – постоянная электродвигателя по противо-э.д.с., равная 0,0675 В·с.

Крутящий момент  $M_{\text{д}}$  электродвигателя определяется по формуле

$$M_{\text{д}} = K_{\text{М}}i_{\text{я}}. \tag{7}$$

где  $K_{\text{М}}$  – постоянная двигателя по вращающему моменту, равная 0,0675 Н·м/А.

На рис. 1 приведены графики напряжения и тока якоря электродвигателя ЭДМ-500, а на рис. 2 – графики угловой скорости  $\omega_{\text{я}}$  якоря двигателя, угла  $\varphi_{\text{н}}$  и угловой скорости  $\omega_{\text{н}}$  пушки боевого модуля ЛБМ при отработке стабилизатором заданного угла наведения 0,1 рад для коэффициентов усиления  $k_{\text{г}} = 250$  и  $k_{\text{д}} = 7$ . Видно, что разгон электродвигателя до номинальной частоты и полное торможение происходят за промежутки времени, приблизительно равные 0,1 с. Участок графика величины  $\omega_{\text{я}}$  на интервале от 0 до 0,015 с соответствует работе люфтовывбирающего устройства.

Результаты имитационного моделирования убеждают авторов в необходимости дальнейшей работы по синтезу стабилизатора вооружения ЛБМ на основе БИС.

#### ЛИТЕРАТУРА

1. Карпенко А.В. Обзорение отечественной бронетанковой техники (1905–1955 гг.). – СПб: Невский бастион, 1996. – 480 с.
2. Интегрированные системы ориентации и навигации для морских подвижных объектов / О. Н. Анучин, Г. И. Емельянец / Под общ. ред. чл.-кор. РАН В. Г. Пешехонова. – СПб., 1999. – 357 с.
3. Бранец В.Н., Шмыглевский И.П. Введение в теорию бесплатформенных инерциальных навигационных систем. – М.: Наука, 1992. – 280 с.
4. Успенский В.Б. Теоретические основы гирослового управления ориентацией космического летательного аппарата: Монография. – Харьков: НТУ «ХПИ», 2006. – 328 с.
5. Александров Е.Е., Кононенко В.А., Беляев С.Н., Чайковский Р.И., Якименко О.Н. Об особенностях построения математической модели совместного движения башенки и боевого модуля как объектов регулирования в комплексах управления вооружением для легкобронированных боевых машин // Механика та машинобудування. – 2007. – № 2. – С. 3–26.
6. Чиликин М.Г. Основы автоматизированного электропривода. Учебное пособие для вузов / [М. Г. Чиликин, М. М. Соколов, В. М. Терехов и др.]. – М.: Энергия, 1974. – 568 с.

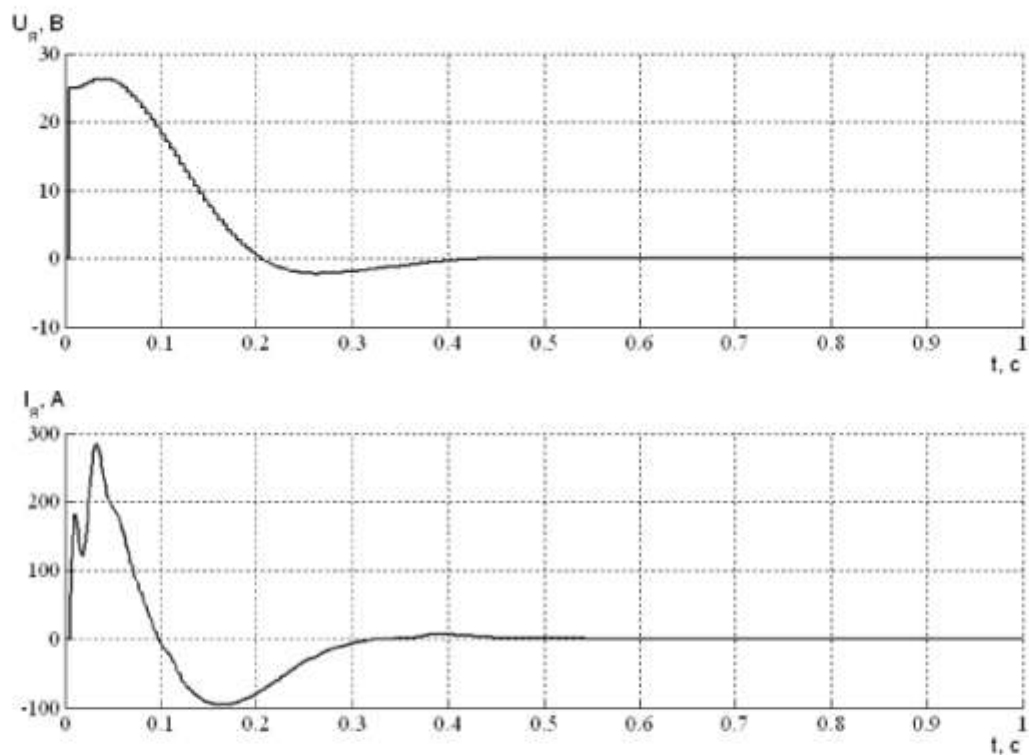


Рис. 1. Напряжение и ток якоря электродвигателя ЭДМ-500 при отработке стабилизатором угла наведения 0,1 рад для коэффициентов закона управления (5)  $k_{\vartheta} = 250$  и  $k_{\dot{\vartheta}} = 7$

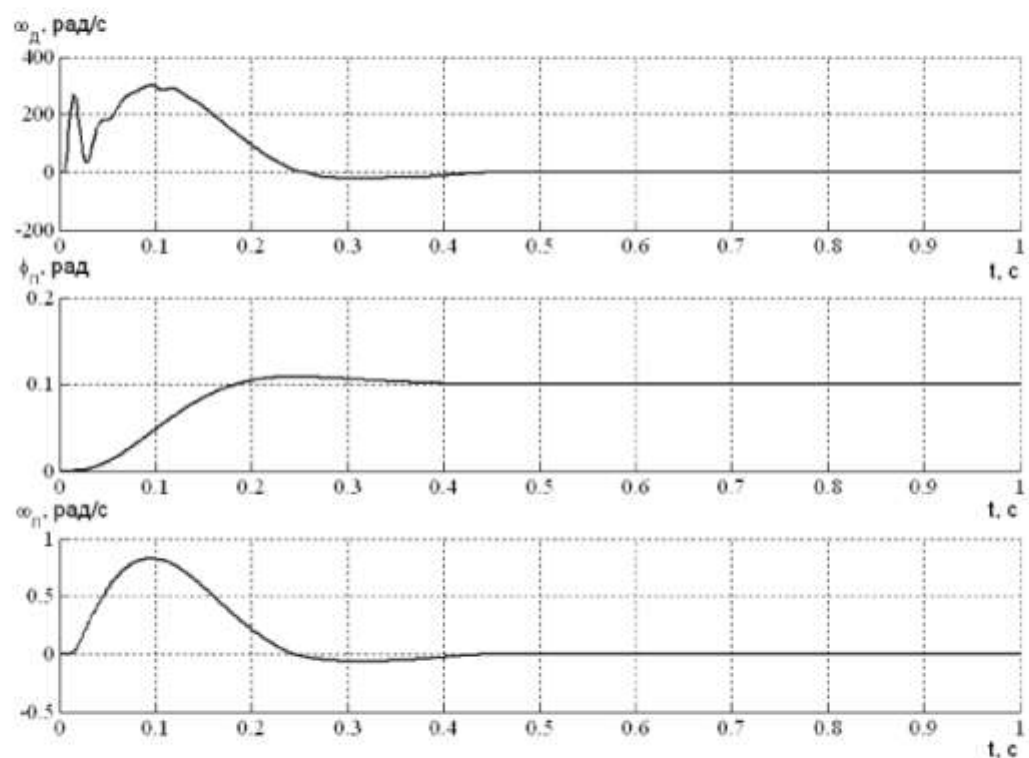


Рис. 2. Переходные процессы в стабилизаторе